

Eingabe: Farbmimetrisches Offset-Reflektiv-System ORS18

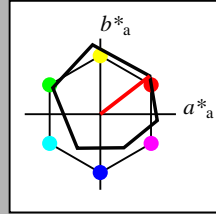
für Buntton $h^* = lab^*h = 38/360 = 0.105$

LAB*LCH, LAB*NCH

A: Buntton O

LCH*Ma: 48 83 38

olv*Ma: 1.0 0.0 0.0



ORS18; adaptierte CIELAB-Daten

| | $L^* = L^*_a$ | a^*_a | b^*_a | $C^*_{ab,a}$ | $h^*_{ab,a}$ |
|------------------|---------------|---------|---------|--------------|--------------|
| O _{Ma} | 47.94 | 65.39 | 50.52 | 82.63 | 38 |
| Y _{Ma} | 90.37 | -10.26 | 91.75 | 92.32 | 96 |
| L _{Ma} | 50.9 | -62.83 | 34.96 | 71.91 | 151 |
| C _{Ma} | 58.62 | -30.34 | -45.01 | 54.3 | 236 |
| V _{Ma} | 25.72 | 31.1 | -44.4 | 54.22 | 305 |
| M _{Ma} | 48.13 | 75.28 | -8.36 | 75.74 | 354 |
| N _{Ma} | 18.01 | 0.0 | 0.0 | 0.0 | 0 |
| W _{Ma} | 95.41 | 0.0 | 0.0 | 0.0 | 0 |
| R _{CIE} | 39.92 | 58.66 | 26.98 | 64.57 | 25 |
| J _{CIE} | 81.26 | -2.16 | 67.76 | 67.79 | 92 |
| G _{CIE} | 52.23 | -42.25 | 11.76 | 43.87 | 164 |
| B _{CIE} | 30.57 | 1.15 | -46.84 | 46.86 | 271 |

CIELAB-Helligkeit L^*

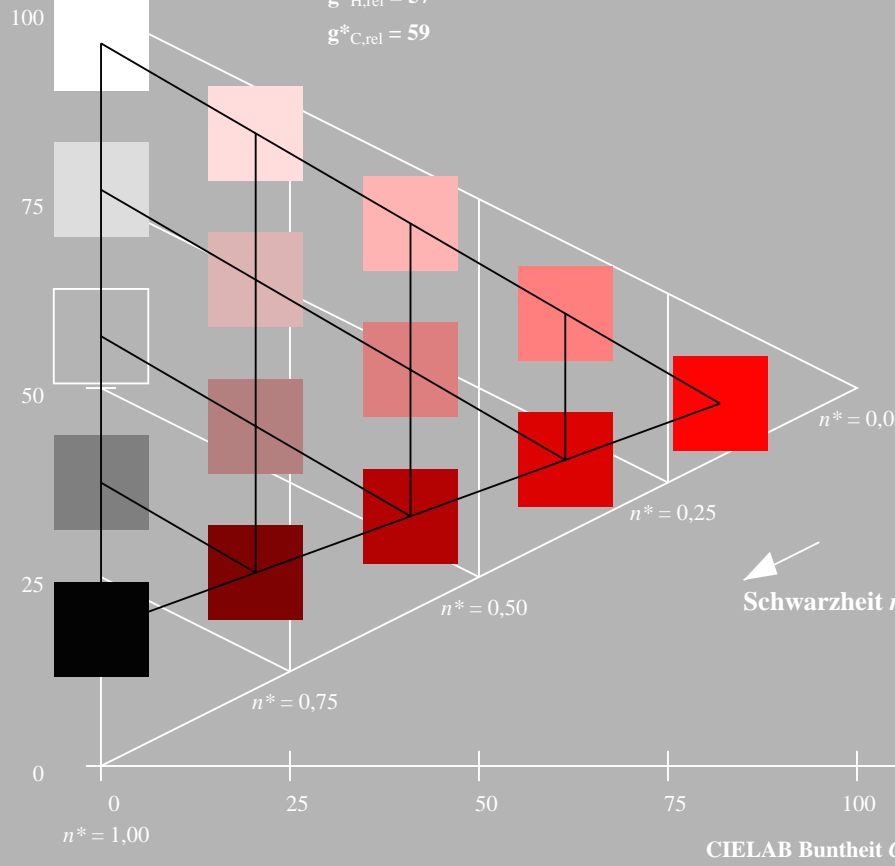
%Umfang

$u^*_{rel} = 93$

%Regularität

$g^*_{H,rel} = 57$

$g^*_{C,rel} = 59$



RG300-7, 5 stufige Reihen für konstanten CIELAB Buntton 38/360 = 0.105 (links)

Ausgabe: Farbmimetrisches Fernseh-Licht-System TLS00

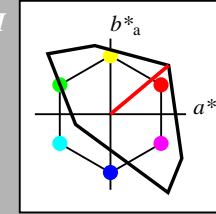
für Buntton $h^* = lab^*h = 40/360 = 0.111$

LAB*LCH, LAB*NCH

A: Buntton O

LCH*Ma: 51 100 40

olv*Ma: 1.0 0.0 0.0



TLS00; adaptierte CIELAB-Daten

| | $L^* = L^*_a$ | a^*_a | b^*_a | $C^*_{ab,a}$ | $h^*_{ab,a}$ |
|------------------|---------------|---------|---------|--------------|--------------|
| O _{Ma} | 50.5 | 76.92 | 64.55 | 100.42 | 40 |
| Y _{Ma} | 92.66 | -20.69 | 90.75 | 93.08 | 103 |
| L _{Ma} | 83.63 | -82.75 | 79.9 | 115.04 | 136 |
| C _{Ma} | 86.88 | -46.16 | -13.55 | 48.12 | 196 |
| V _{Ma} | 30.39 | 76.06 | -103.59 | 128.52 | 306 |
| M _{Ma} | 57.3 | 94.35 | -58.41 | 110.97 | 328 |
| N _{Ma} | 0.01 | 0.0 | 0.0 | 0.0 | 0 |
| W _{Ma} | 95.41 | 0.0 | 0.0 | 0.0 | 0 |
| R _{CIE} | 39.92 | 58.74 | 27.99 | 65.07 | 25 |
| J _{CIE} | 81.26 | -2.88 | 71.56 | 71.62 | 92 |
| G _{CIE} | 52.23 | -42.41 | 13.6 | 44.55 | 162 |
| B _{CIE} | 30.57 | 1.41 | -46.46 | 46.49 | 272 |

CIELAB-Helligkeit L^*

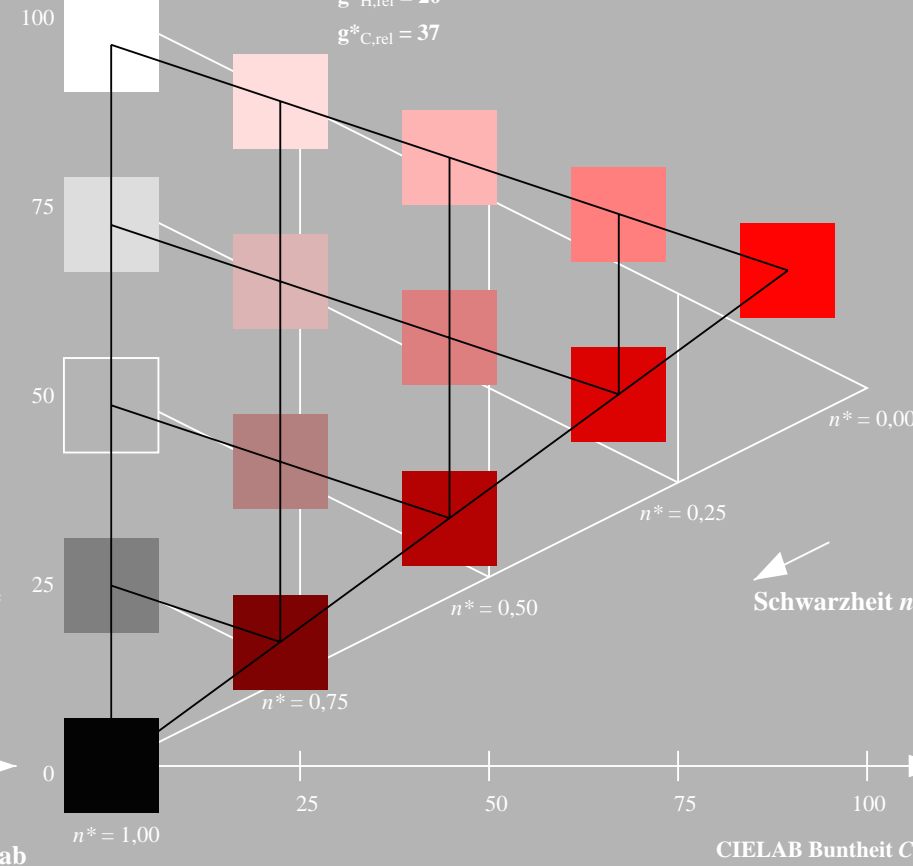
%Umfang

$u^*_{rel} = 158$

%Regularität

$g^*_{H,rel} = 20$

$g^*_{C,rel} = 37$



5 stufige Reihen für konstanten CIELAB Buntton 40/360 = 0.111 (rechts)

BAM-Prüfvorlage RG30; Farbmimetrik-Systeme ORS18 & TLS00 input: olv* setrgbcolor

A: Koordinatensysteme; 5stufige Farbreihen für 10 Bunttöne

output: olv* setrgbcolor / w* setgray

Eingabe: Farbmetrisches Offset-Reflektiv-System ORS18

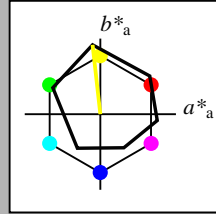
für Buntton $h^* = lab^*h = 96/360 = 0.268$

LAB*LCH, LAB*NCH

A: Buntton Y

LCH*Ma: 90 92 96

olv*Ma: 1.0 1.0 0.0



ORS18; adaptierte CIELAB-Daten

| | $L^* = L^*_a$ | a^*_a | b^*_a | $C^*_{ab,a}$ | $h^*_{ab,a}$ |
|------------------|---------------|---------|---------|--------------|--------------|
| O _{Ma} | 47.94 | 65.39 | 50.52 | 82.63 | 38 |
| Y _{Ma} | 90.37 | -10.26 | 91.75 | 92.32 | 96 |
| L _{Ma} | 50.9 | -62.83 | 34.96 | 71.91 | 151 |
| C _{Ma} | 58.62 | -30.34 | -45.01 | 54.3 | 236 |
| V _{Ma} | 25.72 | 31.1 | -44.4 | 54.22 | 305 |
| M _{Ma} | 48.13 | 75.28 | -8.36 | 75.74 | 354 |
| N _{Ma} | 18.01 | 0.0 | 0.0 | 0.0 | 0 |
| W _{Ma} | 95.41 | 0.0 | 0.0 | 0.0 | 0 |
| R _{CIE} | 39.92 | 58.66 | 26.98 | 64.57 | 25 |
| J _{CIE} | 81.26 | -2.16 | 67.76 | 67.79 | 92 |
| G _{CIE} | 52.23 | -42.25 | 11.76 | 43.87 | 164 |
| B _{CIE} | 30.57 | 1.15 | -46.84 | 46.86 | 271 |

CIELAB-Helligkeit L^*

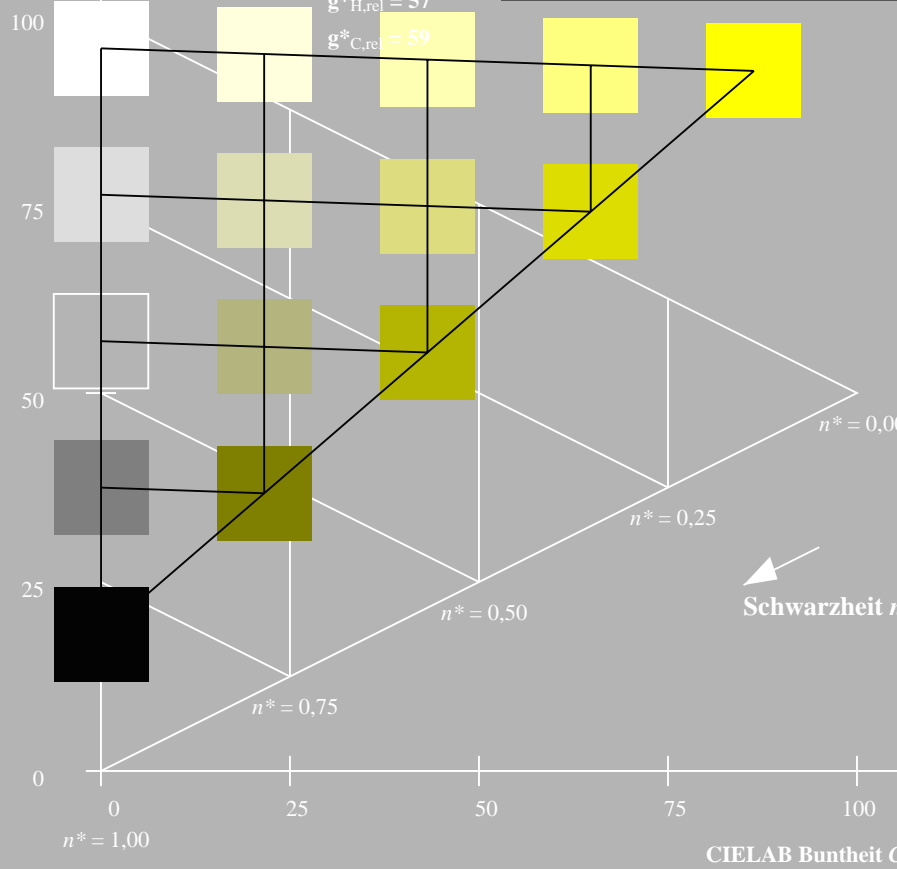
%Umfang

$u^*_{rel} = 93$

%Regularität

$g^*_{H,rel} = 57$

$g^*_{C,rel} = 59$



RG300-7, 5 stufige Reihen für konstanten CIELAB Bunnton 96/360 = 0.268 (links)

Ausgabe: Farbmetrisches Fernseh-Licht-System TLS00

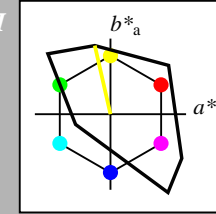
für Buntton $h^* = lab^*h = 103/360 = 0.286$

LAB*LCH, LAB*NCH

A: Buntton Y

LCH*Ma: 93 93 103

olv*Ma: 1.0 1.0 0.0



TLS00; adaptierte CIELAB-Daten

| | $L^* = L^*_a$ | a^*_a | b^*_a | $C^*_{ab,a}$ | $h^*_{ab,a}$ |
|------------------|---------------|---------|---------|--------------|--------------|
| O _{Ma} | 50.5 | 76.92 | 64.55 | 100.42 | 40 |
| Y _{Ma} | 92.66 | -20.69 | 90.75 | 93.08 | 103 |
| L _{Ma} | 83.63 | -82.75 | 79.9 | 115.04 | 136 |
| C _{Ma} | 86.88 | -46.16 | -13.55 | 48.12 | 196 |
| V _{Ma} | 30.39 | 76.06 | -103.59 | 128.52 | 306 |
| M _{Ma} | 57.3 | 94.35 | -58.41 | 110.97 | 328 |
| N _{Ma} | 0.01 | 0.0 | 0.0 | 0.0 | 0 |
| W _{Ma} | 95.41 | 0.0 | 0.0 | 0.0 | 0 |
| R _{CIE} | 39.92 | 58.74 | 27.99 | 65.07 | 25 |
| J _{CIE} | 81.26 | -2.88 | 71.56 | 71.62 | 92 |
| G _{CIE} | 52.23 | -42.41 | 13.6 | 44.55 | 162 |
| B _{CIE} | 30.57 | 1.41 | -46.46 | 46.49 | 272 |

CIELAB-Helligkeit L^*

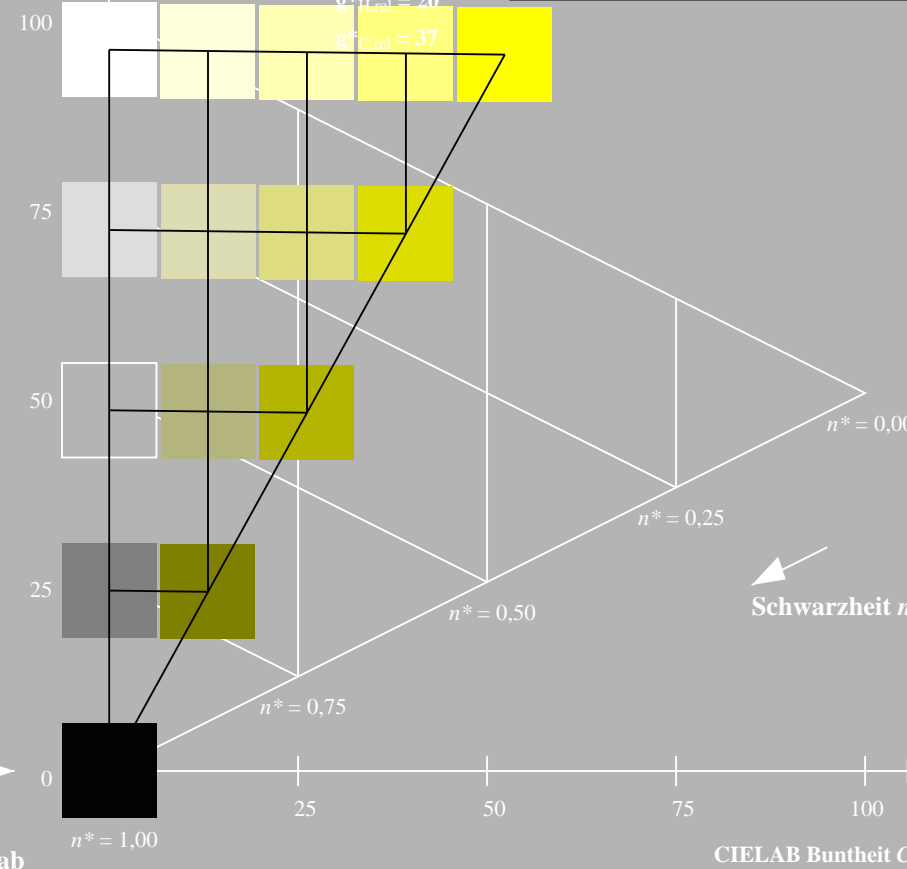
%Umfang

$u^*_{rel} = 158$

%Regularität

$g^*_{H,rel} = 20$

$g^*_{C,rel} = 37$



5 stufige Reihen für konstanten CIELAB Bunnton 103/360 = 0.286 (rechts)

BAM-Prüfvorlage RG30; Farbmetrik-Systeme ORS18 & TLS00 input: olv* setrgbcolor

A: Koordinatensysteme; 5stufige Farbreihen für 10 Bunttöne

output: olv* setrgbcolor / w* setgray

BAM-Registrierung: 20060101-RG30/10Q/Q30G01FP.PS/.PDF BAM-Material: Code=rhatha
 Anwendung für Beurteilung und Messung von Drucker- oder Monitorssystemen
 /RG30/ Form: 2/10, Serie: 1/1, Seite: 2
 Seiten hlung 2

Eingabe: Farbmetrisches Offset-Reflektiv-System ORS18

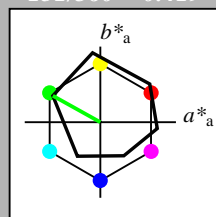
für Buntton $h^* = lab^*h = 151/360 = 0.419$

LAB*LCH, LAB*NCH

A: Buntton L

LCH*Ma: 51 72 151

olv*Ma: 0.0 1.0 0.0



ORS18; adaptierte CIELAB-Daten

| | $L^* = L^*_a$ | a^*_a | b^*_a | $C^*_{ab,a}$ | $h^*_{ab,a}$ |
|------------------|---------------|---------|---------|--------------|--------------|
| O _{Ma} | 47.94 | 65.39 | 50.52 | 82.63 | 38 |
| Y _{Ma} | 90.37 | -10.26 | 91.75 | 92.32 | 96 |
| L _{Ma} | 50.9 | -62.83 | 34.96 | 71.91 | 151 |
| C _{Ma} | 58.62 | -30.34 | -45.01 | 54.3 | 236 |
| V _{Ma} | 25.72 | 31.1 | -44.4 | 54.22 | 305 |
| M _{Ma} | 48.13 | 75.28 | -8.36 | 75.74 | 354 |
| N _{Ma} | 18.01 | 0.0 | 0.0 | 0.0 | 0 |
| W _{Ma} | 95.41 | 0.0 | 0.0 | 0.0 | 0 |
| R _{CIE} | 39.92 | 58.66 | 26.98 | 64.57 | 25 |
| J _{CIE} | 81.26 | -2.16 | 67.76 | 67.79 | 92 |
| G _{CIE} | 52.23 | -42.25 | 11.76 | 43.87 | 164 |
| B _{CIE} | 30.57 | 1.15 | -46.84 | 46.86 | 271 |

CIELAB-Helligkeit L^*

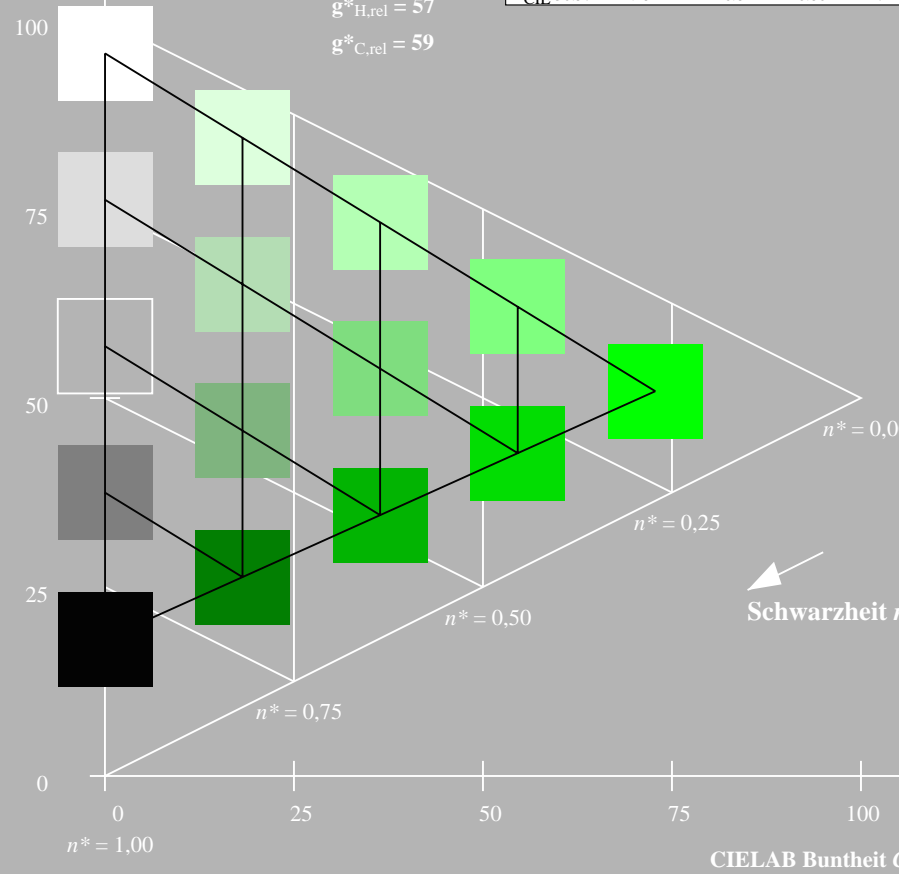
%Umfang

$u^*_{rel} = 93$

%Regularität

$g^*_{H,rel} = 57$

$g^*_{C,rel} = 59$



Ausgabe: Farbmetrisches Fernseh-Licht-System TLS00

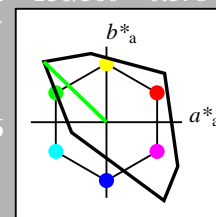
für Buntton $h^* = lab^*h = 136/360 = 0.378$

LAB*LCH, LAB*NCH

A: Buntton L

LCH*Ma: 84 115 136

olv*Ma: 0.0 1.0 0.0



TLS00; adaptierte CIELAB-Daten

| | $L^* = L^*_a$ | a^*_a | b^*_a | $C^*_{ab,a}$ | $h^*_{ab,a}$ |
|------------------|---------------|---------|---------|--------------|--------------|
| O _{Ma} | 50.5 | 76.92 | 64.55 | 100.42 | 40 |
| Y _{Ma} | 92.66 | -20.69 | 90.75 | 93.08 | 103 |
| L _{Ma} | 83.63 | -82.75 | 79.9 | 115.04 | 136 |
| C _{Ma} | 86.88 | -46.16 | -13.55 | 48.12 | 196 |
| V _{Ma} | 30.39 | 76.06 | -103.59 | 128.52 | 306 |
| M _{Ma} | 57.3 | 94.35 | -58.41 | 110.97 | 328 |
| N _{Ma} | 0.01 | 0.0 | 0.0 | 0.0 | 0 |
| W _{Ma} | 95.41 | 0.0 | 0.0 | 0.0 | 0 |
| R _{CIE} | 39.92 | 58.74 | 27.99 | 65.07 | 25 |
| J _{CIE} | 81.26 | -2.88 | 71.56 | 71.62 | 92 |
| G _{CIE} | 52.23 | -42.41 | 13.6 | 44.55 | 162 |
| B _{CIE} | 30.57 | 1.41 | -46.46 | 46.49 | 272 |

CIELAB-Helligkeit L^*

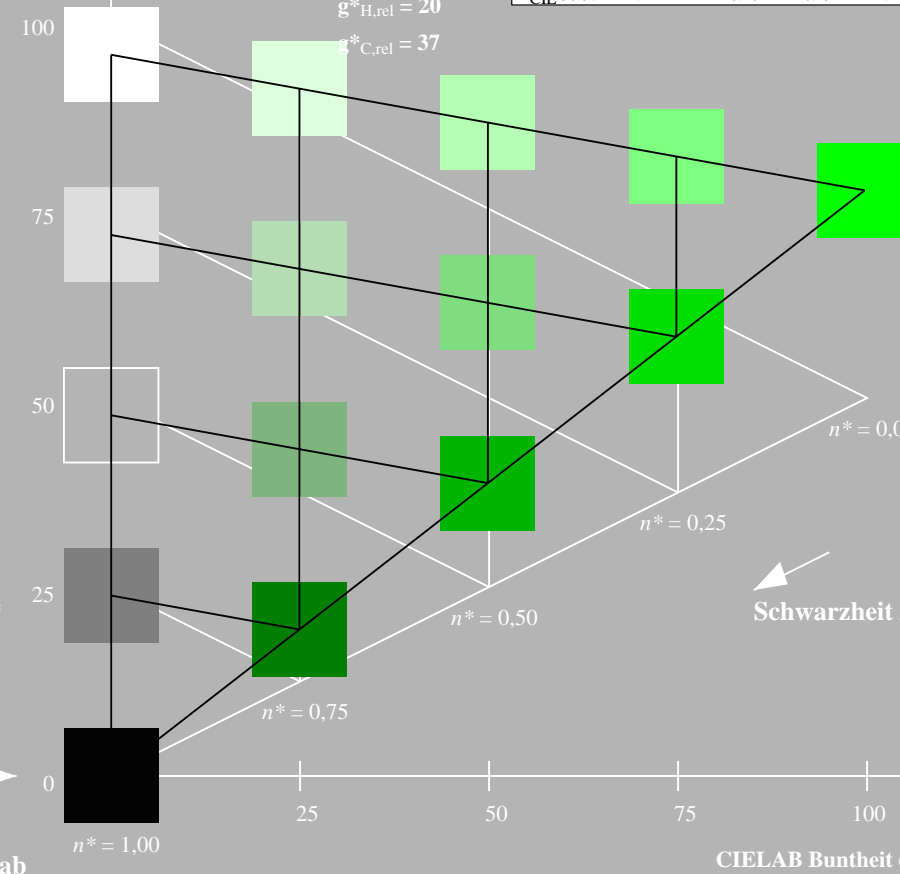
%Umfang

$u^*_{rel} = 158$

%Regularität

$g^*_{H,rel} = 20$

$g^*_{C,rel} = 37$



RG300-7, 5 stufige Reihen für konstanten CIELAB Buntton 151/360 = 0.419 (links)

5 stufige Reihen für konstanten CIELAB Buntton 136/360 = 0.378 (rechts)

BAM-Prüfvorlage RG30; Farbmetrik-Systeme ORS18 & TLS00 input: olv* setrgbcolor

A: Koordinatensysteme; 5stufige Farbreihen für 10 Bunttöne

output: olv* setrgbcolor / w* setgray

Eingabe: Farbmétrisches Offset-Reflektiv-System ORS18

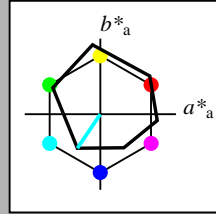
für Buntton $h^* = lab^*h = 236/360 = 0.656$

LAB*LCH, LAB*NCH

A: Buntton C

LCH*Ma: 59 54 236

olv*Ma: 0.0 1.0 1.0



ORS18; adaptierte CIELAB-Daten

| | $L^* = L^*_a$ | a^*_a | b^*_a | $C^*_{ab,a}$ | $h^*_{ab,a}$ |
|------------------|---------------|---------|---------|--------------|--------------|
| O _{Ma} | 47.94 | 65.39 | 50.52 | 82.63 | 38 |
| Y _{Ma} | 90.37 | -10.26 | 91.75 | 92.32 | 96 |
| L _{Ma} | 50.9 | -62.83 | 34.96 | 71.91 | 151 |
| C _{Ma} | 58.62 | -30.34 | -45.01 | 54.3 | 236 |
| V _{Ma} | 25.72 | 31.1 | -44.4 | 54.22 | 305 |
| M _{Ma} | 48.13 | 75.28 | -8.36 | 75.74 | 354 |
| N _{Ma} | 18.01 | 0.0 | 0.0 | 0.0 | 0 |
| W _{Ma} | 95.41 | 0.0 | 0.0 | 0.0 | 0 |
| R _{CIE} | 39.92 | 58.66 | 26.98 | 64.57 | 25 |
| J _{CIE} | 81.26 | -2.16 | 67.76 | 67.79 | 92 |
| G _{CIE} | 52.23 | -42.25 | 11.76 | 43.87 | 164 |
| B _{CIE} | 30.57 | 1.15 | -46.84 | 46.86 | 271 |

CIELAB-Helligkeit L^*

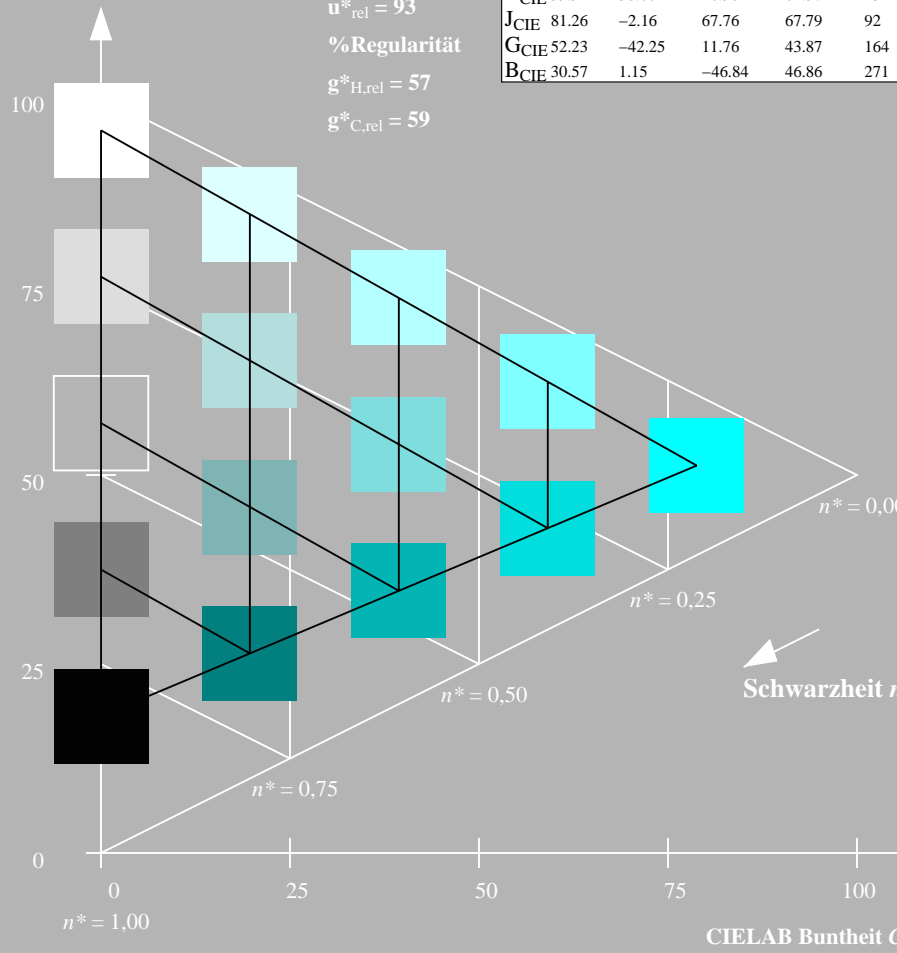
%Umfang

$u^*_{rel} = 93$

%Regularität

$g^*_{H,rel} = 57$

$g^*_{C,rel} = 59$



RG300-7, 5 stufige Reihen für konstanten CIELAB Buntton $236/360 = 0.656$ (links)

Ausgabe: Farbmétrisches Fernseh-Licht-System TLS00

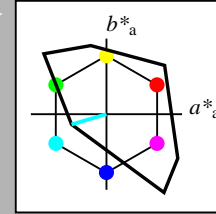
für Buntton $h^* = lab^*h = 196/360 = 0.545$

LAB*LCH, LAB*NCH

A: Buntton C

LCH*Ma: 87 48 196

olv*Ma: 0.0 1.0 1.0



TLS00; adaptierte CIELAB-Daten

| | $L^* = L^*_a$ | a^*_a | b^*_a | $C^*_{ab,a}$ | $h^*_{ab,a}$ |
|------------------|---------------|---------|---------|--------------|--------------|
| O _{Ma} | 50.5 | 76.92 | 64.55 | 100.42 | 40 |
| Y _{Ma} | 92.66 | -20.69 | 90.75 | 93.08 | 103 |
| L _{Ma} | 83.63 | -82.75 | 79.9 | 115.04 | 136 |
| C _{Ma} | 86.88 | -46.16 | -13.55 | 48.12 | 196 |
| V _{Ma} | 30.39 | 76.06 | -103.59 | 128.52 | 306 |
| M _{Ma} | 57.3 | 94.35 | -58.41 | 110.97 | 328 |
| N _{Ma} | 0.01 | 0.0 | 0.0 | 0.0 | 0 |
| W _{Ma} | 95.41 | 0.0 | 0.0 | 0.0 | 0 |
| R _{CIE} | 39.92 | 58.74 | 27.99 | 65.07 | 25 |
| J _{CIE} | 81.26 | -2.88 | 71.56 | 71.62 | 92 |
| G _{CIE} | 52.23 | -42.41 | 13.6 | 44.55 | 162 |
| B _{CIE} | 30.57 | 1.41 | -46.46 | 46.49 | 272 |

CIELAB-Helligkeit L^*

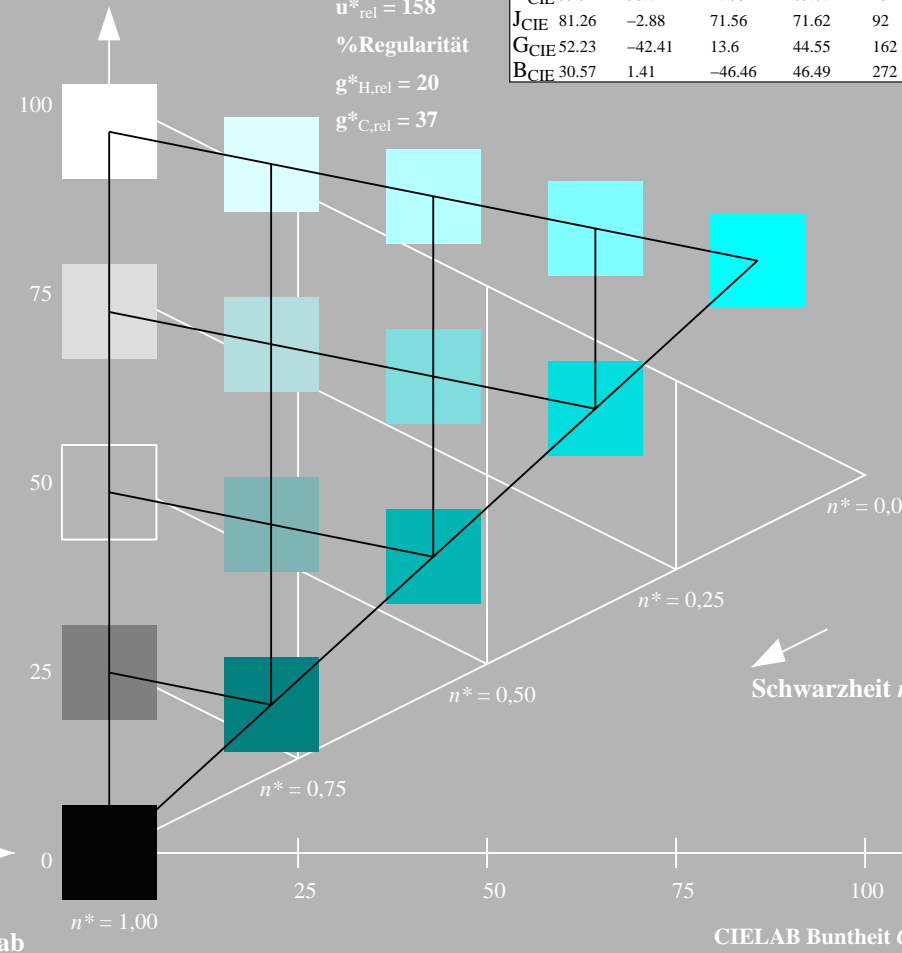
%Umfang

$u^*_{rel} = 158$

%Regularität

$g^*_{H,rel} = 20$

$g^*_{C,rel} = 37$



5 stufige Reihen für konstanten CIELAB Buntton $196/360 = 0.545$ (rechts)

BAM-Prüfvorlage RG30; Farbmétrik-Systeme ORS18 & TLS00 input: olv* setrgbcolor

A: Koordinatensysteme; 5stufige Farbreihen für 10 Bunttöne

output: olv* setrgbcolor / w* setgray

Siehe ähnliche Dateien: <http://www.ps.bam.de/RG30/>
 Technische Information: <http://www.ps.bam.de> Version 2.1, io=1,1, CIELAB

BAM-Registrierung: 20060101-RG30/10Q/Q30G03FP.PS/.PDF BAM-Material: Code=rhatha
 Anwendung für Beurteilung und Messung von Drucker- oder Monitorssystemen
 /RG30/ Form: 4/10, Serie: 1/1, Seite: 4
 Schenzhung 4

Eingabe: Farbmimetrisches Offset-Reflektiv-System ORS18

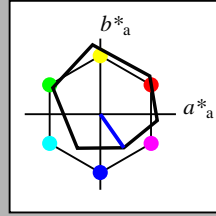
für Buntton $h^* = lab^*h = 305/360 = 0.847$

LAB*LCH, LAB*NCH

A: Buntton V

LCH*Ma: 26 54 305

olv*Ma: 0.0 0.0 1.0



ORS18; adaptierte CIELAB-Daten

| | $L^* = L^*_a$ | a^*_a | b^*_a | $C^*_{ab,a}$ | $h^*_{ab,a}$ |
|------------------|---------------|---------|---------|--------------|--------------|
| O _{Ma} | 47.94 | 65.39 | 50.52 | 82.63 | 38 |
| Y _{Ma} | 90.37 | -10.26 | 91.75 | 92.32 | 96 |
| L _{Ma} | 50.9 | -62.83 | 34.96 | 71.91 | 151 |
| C _{Ma} | 58.62 | -30.34 | -45.01 | 54.3 | 236 |
| V _{Ma} | 25.72 | 31.1 | -44.4 | 54.22 | 305 |
| M _{Ma} | 48.13 | 75.28 | -8.36 | 75.74 | 354 |
| N _{Ma} | 18.01 | 0.0 | 0.0 | 0.0 | 0 |
| W _{Ma} | 95.41 | 0.0 | 0.0 | 0.0 | 0 |
| R _{CIE} | 39.92 | 58.66 | 26.98 | 64.57 | 25 |
| J _{CIE} | 81.26 | -2.16 | 67.76 | 67.79 | 92 |
| G _{CIE} | 52.23 | -42.25 | 11.76 | 43.87 | 164 |
| B _{CIE} | 30.57 | 1.15 | -46.84 | 46.86 | 271 |

CIELAB-Helligkeit L^*

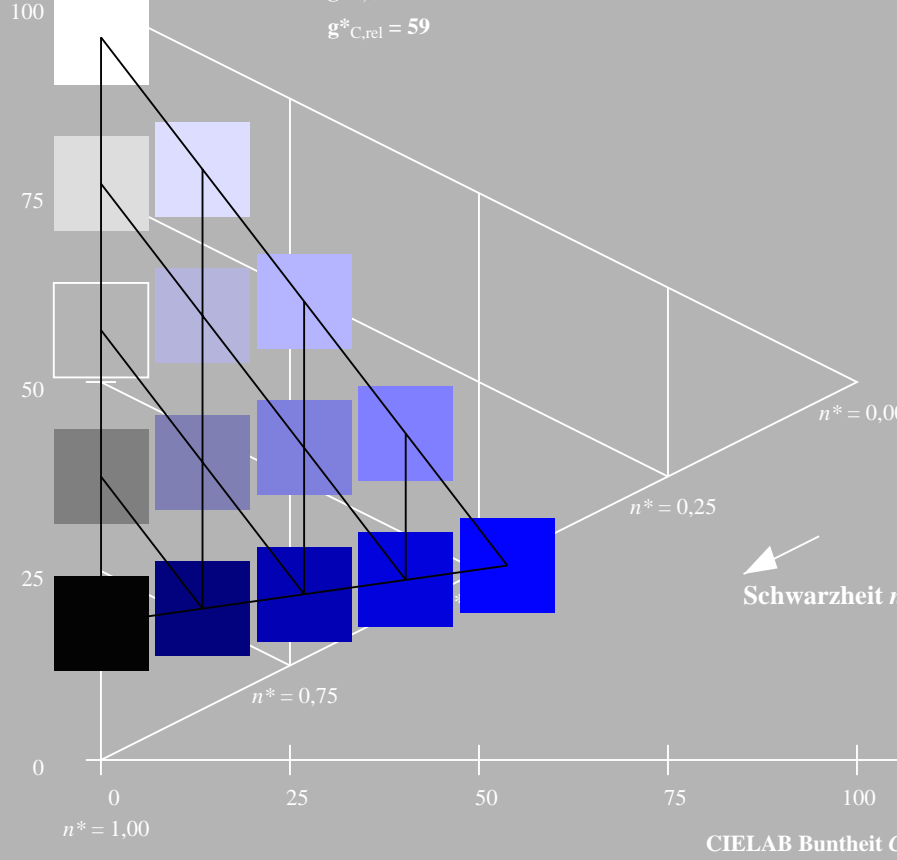
%Umfang

$u^*_{rel} = 93$

%Regularität

$g^*_{H,rel} = 57$

$g^*_{C,rel} = 59$



RG300-7, 5 stufige Reihen für konstanten CIELAB Buntton 305/360 = 0.847 (links)

Ausgabe: Farbmimetrisches Fernseh-Licht-System TLS00

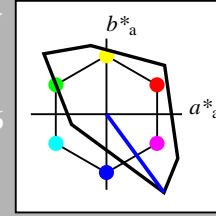
für Buntton $h^* = lab^*h = 306/360 = 0.851$

LAB*LCH, LAB*NCH

A: Buntton V

LCH*Ma: 30 129 306

olv*Ma: 0.0 0.0 1.0



TLS00; adaptierte CIELAB-Daten

| | $L^* = L^*_a$ | a^*_a | b^*_a | $C^*_{ab,a}$ | $h^*_{ab,a}$ |
|------------------|---------------|---------|---------|--------------|--------------|
| O _{Ma} | 50.5 | 76.92 | 64.55 | 100.42 | 40 |
| Y _{Ma} | 92.66 | -20.69 | 90.75 | 93.08 | 103 |
| L _{Ma} | 83.63 | -82.75 | 79.9 | 115.04 | 136 |
| C _{Ma} | 86.88 | -46.16 | -13.55 | 48.12 | 196 |
| V _{Ma} | 30.39 | 76.06 | -103.59 | 128.52 | 306 |
| M _{Ma} | 57.3 | 94.35 | -58.41 | 110.97 | 328 |
| N _{Ma} | 0.01 | 0.0 | 0.0 | 0.0 | 0 |
| W _{Ma} | 95.41 | 0.0 | 0.0 | 0.0 | 0 |
| R _{CIE} | 39.92 | 58.74 | 27.99 | 65.07 | 25 |
| J _{CIE} | 81.26 | -2.88 | 71.56 | 71.62 | 92 |
| G _{CIE} | 52.23 | -42.41 | 13.6 | 44.55 | 162 |
| B _{CIE} | 30.57 | 1.41 | -46.46 | 46.49 | 272 |

CIELAB-Helligkeit L^*

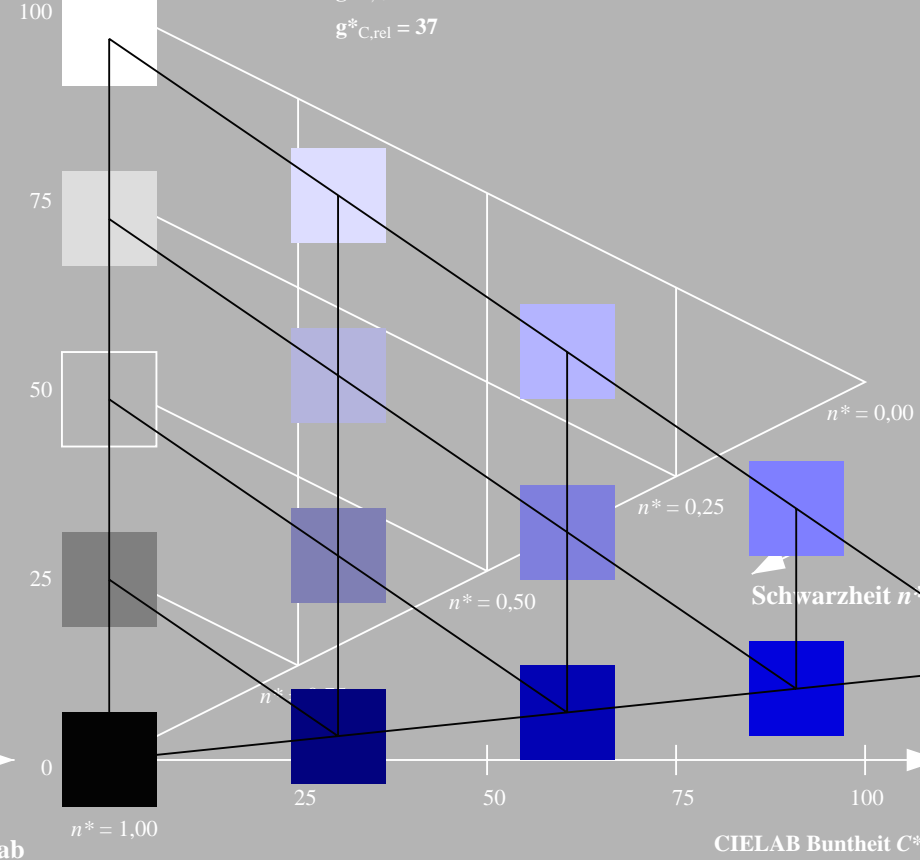
%Umfang

$u^*_{rel} = 158$

%Regularität

$g^*_{H,rel} = 20$

$g^*_{C,rel} = 37$



5 stufige Reihen für konstanten CIELAB Buntton 306/360 = 0.851 (rechts)

BAM-Prüfvorlage RG30; Farbmimetrik-Systeme ORS18 & TLS00 input: olv* setrgbcolor

A: Koordinatensysteme; 5stufige Farbreihen für 10 Bunttöne

output: olv* setrgbcolor / w* setgray

Eingabe: Farbmimetrisches Offset-Reflektiv-System ORS18

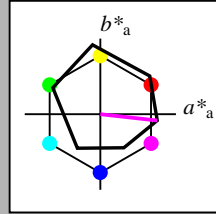
für Buntton $h^* = lab^*h = 354/360 = 0.982$

LAB*LCH, LAB*NCH

A: Buntton M

LCH*Ma: 48 76 354

olv*Ma: 1.0 0.0 1.0



ORS18; adaptierte CIELAB-Daten

| | $L^* = L^*_a$ | a^*_a | b^*_a | $C^*_{ab,a}$ | $h^*_{ab,a}$ |
|------------------|---------------|---------|---------|--------------|--------------|
| O _{Ma} | 47.94 | 65.39 | 50.52 | 82.63 | 38 |
| Y _{Ma} | 90.37 | -10.26 | 91.75 | 92.32 | 96 |
| L _{Ma} | 50.9 | -62.83 | 34.96 | 71.91 | 151 |
| C _{Ma} | 58.62 | -30.34 | -45.01 | 54.3 | 236 |
| V _{Ma} | 25.72 | 31.1 | -44.4 | 54.22 | 305 |
| M _{Ma} | 48.13 | 75.28 | -8.36 | 75.74 | 354 |
| N _{Ma} | 18.01 | 0.0 | 0.0 | 0.0 | 0 |
| W _{Ma} | 95.41 | 0.0 | 0.0 | 0.0 | 0 |
| R _{CIE} | 39.92 | 58.66 | 26.98 | 64.57 | 25 |
| J _{CIE} | 81.26 | -2.16 | 67.76 | 67.79 | 92 |
| G _{CIE} | 52.23 | -42.25 | 11.76 | 43.87 | 164 |
| B _{CIE} | 30.57 | 1.15 | -46.84 | 46.86 | 271 |

CIELAB-Helligkeit L^*

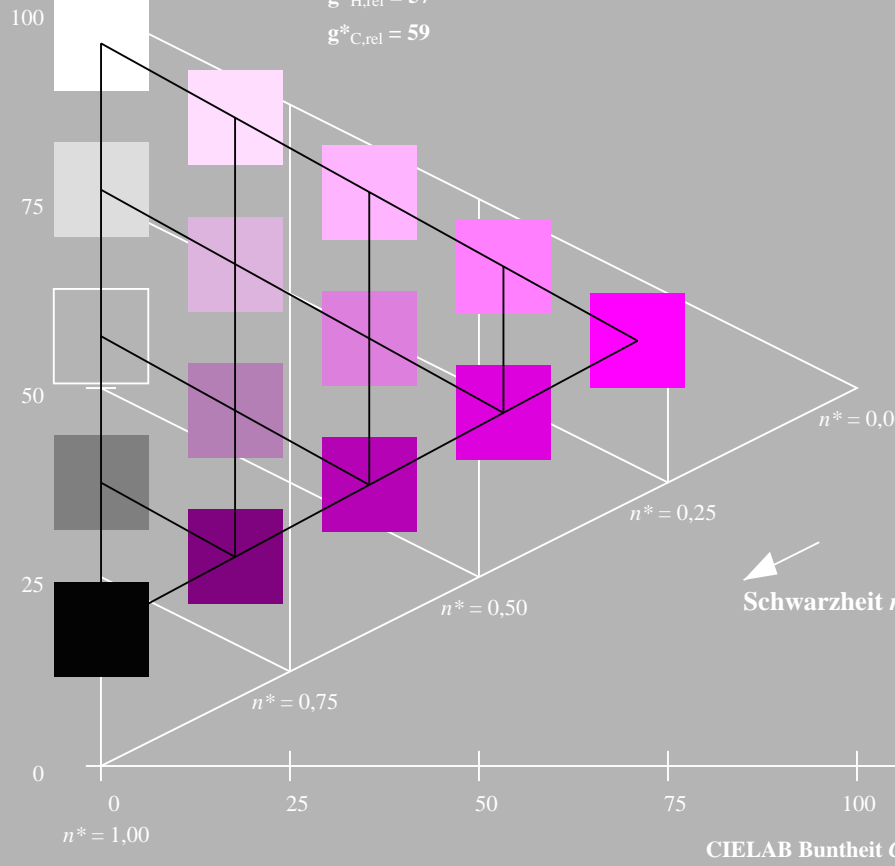
%Umfang

$u^*_{rel} = 93$

%Regularität

$g^*_{H,rel} = 57$

$g^*_{C,rel} = 59$



RG300-7, 5 stufige Reihen für konstanten CIELAB Buntton 354/360 = 0.982 (links)

Ausgabe: Farbmimetrisches Fernseh-Licht-System TLS00

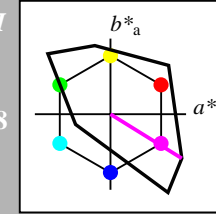
für Buntton $h^* = lab^*h = 328/360 = 0.912$

LAB*LCH, LAB*NCH

A: Buntton M

LCH*Ma: 57 111 328

olv*Ma: 1.0 0.0 1.0



TLS00; adaptierte CIELAB-Daten

| | $L^* = L^*_a$ | a^*_a | b^*_a | $C^*_{ab,a}$ | $h^*_{ab,a}$ |
|------------------|---------------|---------|---------|--------------|--------------|
| O _{Ma} | 50.5 | 76.92 | 64.55 | 100.42 | 40 |
| Y _{Ma} | 92.66 | -20.69 | 90.75 | 93.08 | 103 |
| L _{Ma} | 83.63 | -82.75 | 79.9 | 115.04 | 136 |
| C _{Ma} | 86.88 | -46.16 | -13.55 | 48.12 | 196 |
| V _{Ma} | 30.39 | 76.06 | -103.59 | 128.52 | 306 |
| M _{Ma} | 57.3 | 94.35 | -58.41 | 110.97 | 328 |
| N _{Ma} | 0.01 | 0.0 | 0.0 | 0.0 | 0 |
| W _{Ma} | 95.41 | 0.0 | 0.0 | 0.0 | 0 |
| R _{CIE} | 39.92 | 58.74 | 27.99 | 65.07 | 25 |
| J _{CIE} | 81.26 | -2.88 | 71.56 | 71.62 | 92 |
| G _{CIE} | 52.23 | -42.41 | 13.6 | 44.55 | 162 |
| B _{CIE} | 30.57 | 1.41 | -46.46 | 46.49 | 272 |

CIELAB-Helligkeit L^*

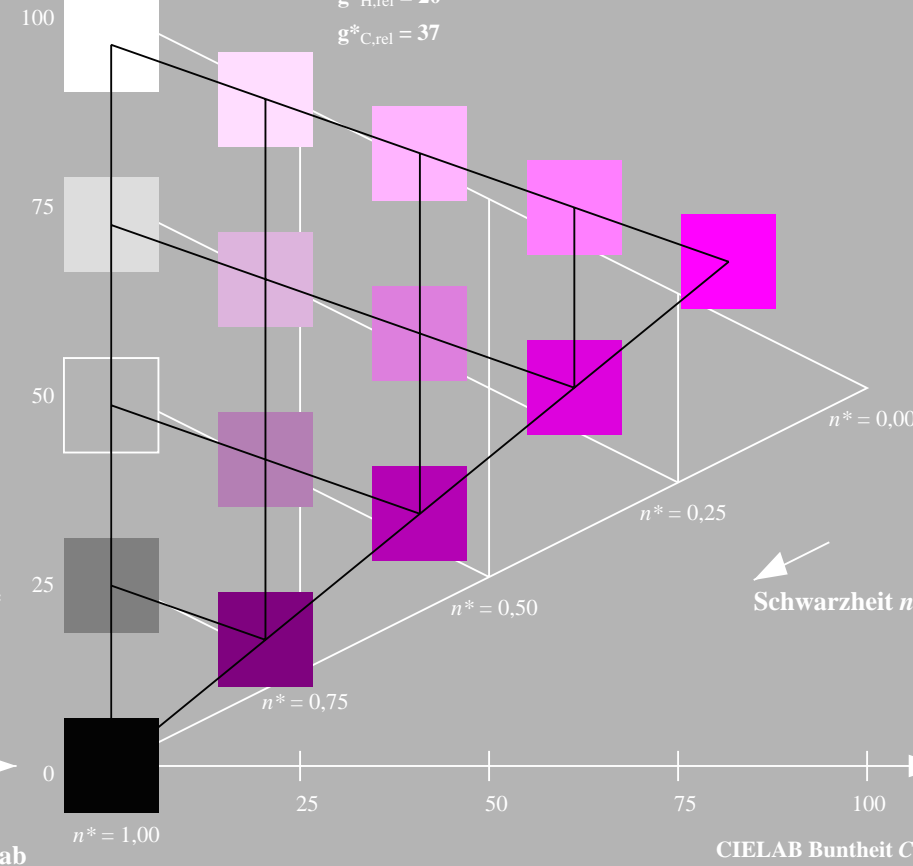
%Umfang

$u^*_{rel} = 158$

%Regularität

$g^*_{H,rel} = 20$

$g^*_{C,rel} = 37$



5 stufige Reihen für konstanten CIELAB Buntton 328/360 = 0.912 (rechts)

BAM-Prüfvorlage RG30; Farbmimetrik-Systeme ORS18 & TLS00 input: olv* setrgbcolor

A: Koordinatensysteme; 5stufige Farbreihen für 10 Bunttöne

output: olv* setrgbcolor / w* setgray

BAM-Registrierung: 20060101-RG30/10Q/Q30G05FP.PS/.PDF BAM-Material: Code=rhatha
 Anwendung für Beurteilung und Messung von Drucker- oder Monitorssystemen
 /RG30/ Form: 6/10, Serie: 1/1, Seite: 6
 Scherz hlung 6

Eingabe: Farbmétrisches Offset-Reflektiv-System ORS18

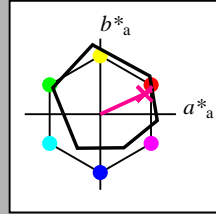
für Buntton $h^* = lab^*h = 25/360 = 0.069$

LAB*LCH, LAB*NCH

A: Buntton R

LCH*Ma: 48 75 25

olv*Ma: 1.0 0.0 0.32



ORS18; adaptierte CIELAB-Daten

| | $L^* = L^*_a$ | a^*_a | b^*_a | $C^*_{ab,a}$ | $h^*_{ab,a}$ |
|------------------|---------------|---------|---------|--------------|--------------|
| O _{Ma} | 47.94 | 65.39 | 50.52 | 82.63 | 38 |
| Y _{Ma} | 90.37 | -10.26 | 91.75 | 92.32 | 96 |
| L _{Ma} | 50.9 | -62.83 | 34.96 | 71.91 | 151 |
| C _{Ma} | 58.62 | -30.34 | -45.01 | 54.3 | 236 |
| V _{Ma} | 25.72 | 31.1 | -44.4 | 54.22 | 305 |
| M _{Ma} | 48.13 | 75.28 | -8.36 | 75.74 | 354 |
| N _{Ma} | 18.01 | 0.0 | 0.0 | 0.0 | 0 |
| W _{Ma} | 95.41 | 0.0 | 0.0 | 0.0 | 0 |
| R _{CIE} | 39.92 | 58.66 | 26.98 | 64.57 | 25 |
| J _{CIE} | 81.26 | -2.16 | 67.76 | 67.79 | 92 |
| G _{CIE} | 52.23 | -42.25 | 11.76 | 43.87 | 164 |
| B _{CIE} | 30.57 | 1.15 | -46.84 | 46.86 | 271 |

CIELAB-Helligkeit L^*

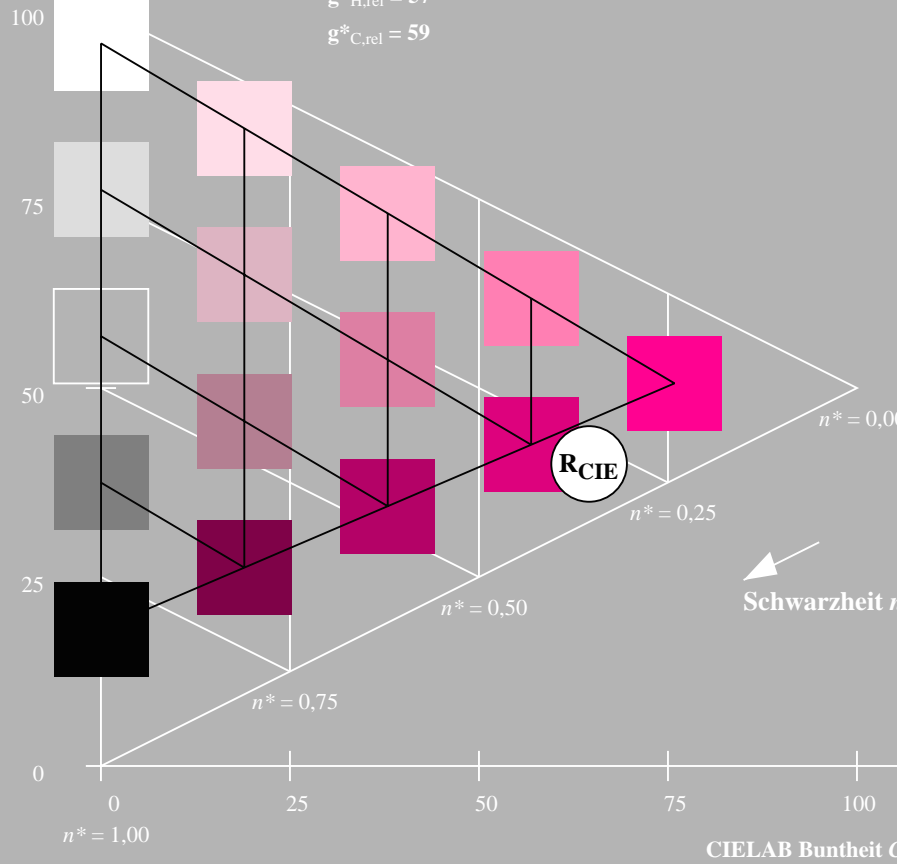
%Umfang

$u^*_{rel} = 93$

%Regularität

$g^*_{H,rel} = 57$

$g^*_{C,rel} = 59$



Ausgabe: Farbmétrisches Fernseh-Licht-System TLS00

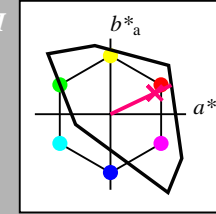
für Buntton $h^* = lab^*h = 25/360 = 0.071$

LAB*LCH, LAB*NCH

A: Buntton R

LCH*Ma: 52 89 25

olv*Ma: 1.0 0.0 0.21



TLS00; adaptierte CIELAB-Daten

| | $L^* = L^*_a$ | a^*_a | b^*_a | $C^*_{ab,a}$ | $h^*_{ab,a}$ |
|------------------|---------------|---------|---------|--------------|--------------|
| O _{Ma} | 50.5 | 76.92 | 64.55 | 100.42 | 40 |
| Y _{Ma} | 92.66 | -20.69 | 90.75 | 93.08 | 103 |
| L _{Ma} | 83.63 | -82.75 | 79.9 | 115.04 | 136 |
| C _{Ma} | 86.88 | -46.16 | -13.55 | 48.12 | 196 |
| V _{Ma} | 30.39 | 76.06 | -103.59 | 128.52 | 306 |
| M _{Ma} | 57.3 | 94.35 | -58.41 | 110.97 | 328 |
| N _{Ma} | 0.01 | 0.0 | 0.0 | 0.0 | 0 |
| W _{Ma} | 95.41 | 0.0 | 0.0 | 0.0 | 0 |
| R _{CIE} | 39.92 | 58.74 | 27.99 | 65.07 | 25 |
| J _{CIE} | 81.26 | -2.88 | 71.56 | 71.62 | 92 |
| G _{CIE} | 52.23 | -42.41 | 13.6 | 44.55 | 162 |
| B _{CIE} | 30.57 | 1.41 | -46.46 | 46.49 | 272 |

CIELAB-Helligkeit L^*

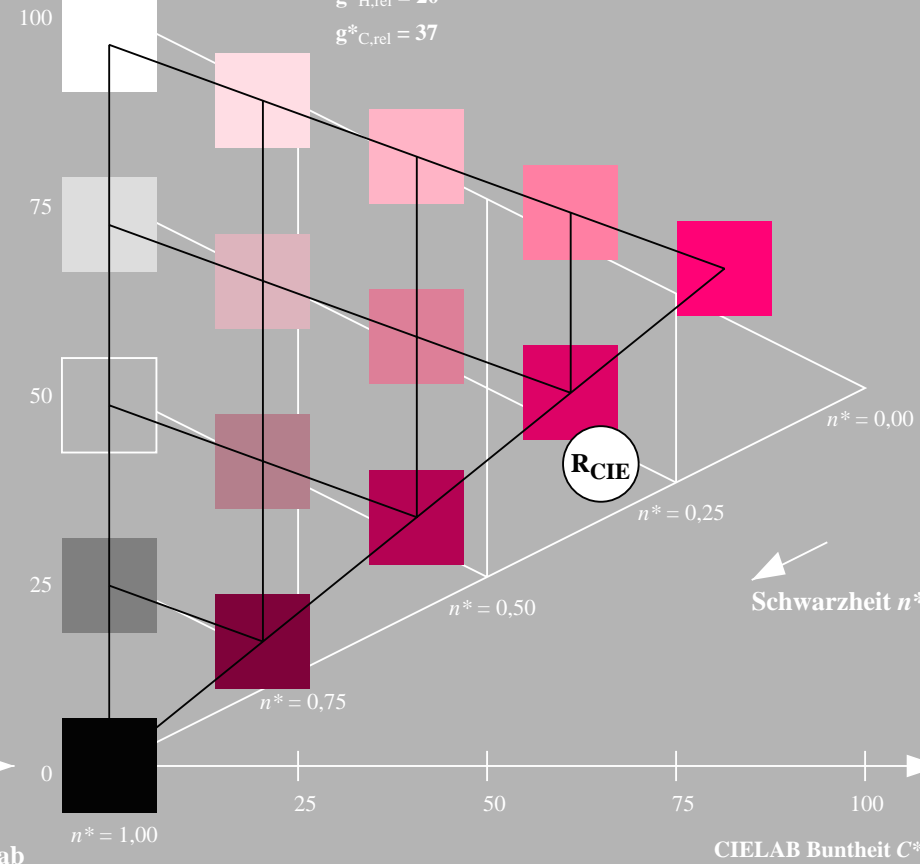
%Umfang

$u^*_{rel} = 158$

%Regularität

$g^*_{H,rel} = 20$

$g^*_{C,rel} = 37$



RG300-7, 5 stufige Reihen für konstanten CIELAB Buntton 25/360 = 0.069 (links)

5 stufige Reihen für konstanten CIELAB Buntton 25/360 = 0.071 (rechts)

BAM-Prüfvorlage RG30; Farbmétrik-Systeme ORS18 & TLS00 input: olv* setrgbcolor

A: Koordinatensysteme; 5stufige Farbreihen für 10 Bunttöne

output: olv* setrgbcolor / w* setgray

Siehe ähnliche Dateien: <http://www.ps.bam.de/RG30/>
 Technische Information: <http://www.ps.bam.de> Version 2.1, io=1,1, CIELAB

BAM-Registrierung: 20060101-RG30/10Q/Q30G06FP.PS/.PDF BAM-Material: Code=rhatha
 Anwendung für Beurteilung und Messung von Drucker- oder Monitorssystemen
 /RG30/ Form: 7/10, Serie: 1/1, Seite: 7
 Scherzhang 7

Eingabe: Farbmétrisches Offset-Reflektiv-System ORS18

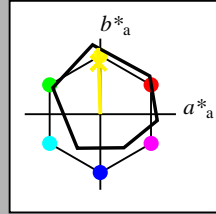
für Buntton $h^* = lab^*h = 92/360 = 0.255$

LAB*LCH, LAB*NCH

A: Buntton J

LCH*Ma: 86 88 92

olv*Ma: 1.0 0.9 0.0



ORS18; adaptierte CIELAB-Daten

| | $L^* = L^*_a$ | a^*_a | b^*_a | $C^*_{ab,a}$ | $h^*_{ab,a}$ |
|------------------|---------------|---------|---------|--------------|--------------|
| O _{Ma} | 47.94 | 65.39 | 50.52 | 82.63 | 38 |
| Y _{Ma} | 90.37 | -10.26 | 91.75 | 92.32 | 96 |
| L _{Ma} | 50.9 | -62.83 | 34.96 | 71.91 | 151 |
| C _{Ma} | 58.62 | -30.34 | -45.01 | 54.3 | 236 |
| V _{Ma} | 25.72 | 31.1 | -44.4 | 54.22 | 305 |
| M _{Ma} | 48.13 | 75.28 | -8.36 | 75.74 | 354 |
| N _{Ma} | 18.01 | 0.0 | 0.0 | 0.0 | 0 |
| W _{Ma} | 95.41 | 0.0 | 0.0 | 0.0 | 0 |
| R _{CIE} | 39.92 | 58.66 | 26.98 | 64.57 | 25 |
| J _{CIE} | 81.26 | -2.16 | 67.76 | 67.79 | 92 |
| G _{CIE} | 52.23 | -42.25 | 11.76 | 43.87 | 164 |
| B _{CIE} | 30.57 | 1.15 | -46.84 | 46.86 | 271 |

CIELAB-Helligkeit L^*

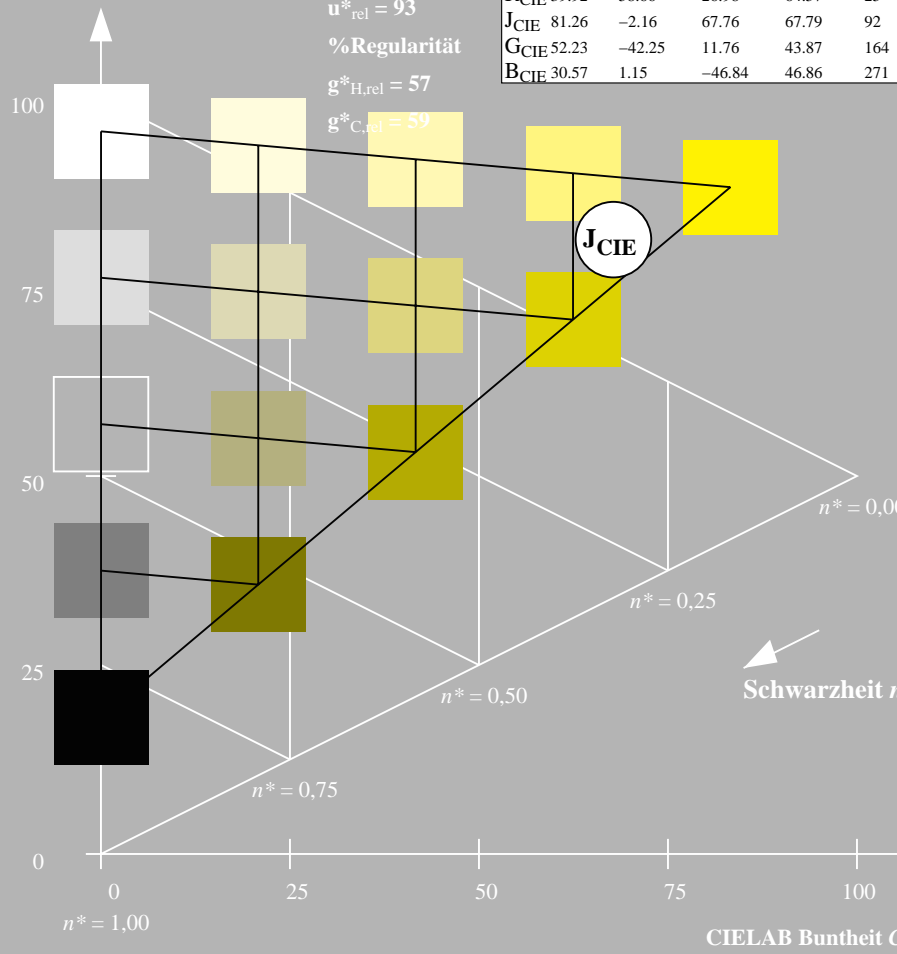
%Umfang

$u^*_{rel} = 93$

%Regularität

$g^*_{H,rel} = 57$

$g^*_{C,rel} = 59$



RG300-7, 5 stufige Reihen für konstanten CIELAB Buntton $92/360 = 0.255$ (links)

Ausgabe: Farbmétrisches Fernseh-Licht-System TLS00

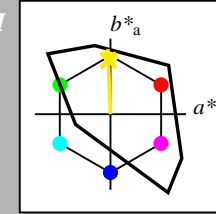
für Buntton $h^* = lab^*h = 92/360 = 0.256$

LAB*LCH, LAB*NCH

A: Buntton J

LCH*Ma: 85 86 92

olv*Ma: 1.0 0.82 0.0



TLS00; adaptierte CIELAB-Daten

| | $L^* = L^*_a$ | a^*_a | b^*_a | $C^*_{ab,a}$ | $h^*_{ab,a}$ |
|------------------|---------------|---------|---------|--------------|--------------|
| O _{Ma} | 50.5 | 76.92 | 64.55 | 100.42 | 40 |
| Y _{Ma} | 92.66 | -20.69 | 90.75 | 93.08 | 103 |
| L _{Ma} | 83.63 | -82.75 | 79.9 | 115.04 | 136 |
| C _{Ma} | 86.88 | -46.16 | -13.55 | 48.12 | 196 |
| V _{Ma} | 30.39 | 76.06 | -103.59 | 128.52 | 306 |
| M _{Ma} | 57.3 | 94.35 | -58.41 | 110.97 | 328 |
| N _{Ma} | 0.01 | 0.0 | 0.0 | 0.0 | 0 |
| W _{Ma} | 95.41 | 0.0 | 0.0 | 0.0 | 0 |
| R _{CIE} | 39.92 | 58.74 | 27.99 | 65.07 | 25 |
| J _{CIE} | 81.26 | -2.88 | 71.56 | 71.62 | 92 |
| G _{CIE} | 52.23 | -42.41 | 13.6 | 44.55 | 162 |
| B _{CIE} | 30.57 | 1.41 | -46.46 | 46.49 | 272 |

CIELAB-Helligkeit L^*

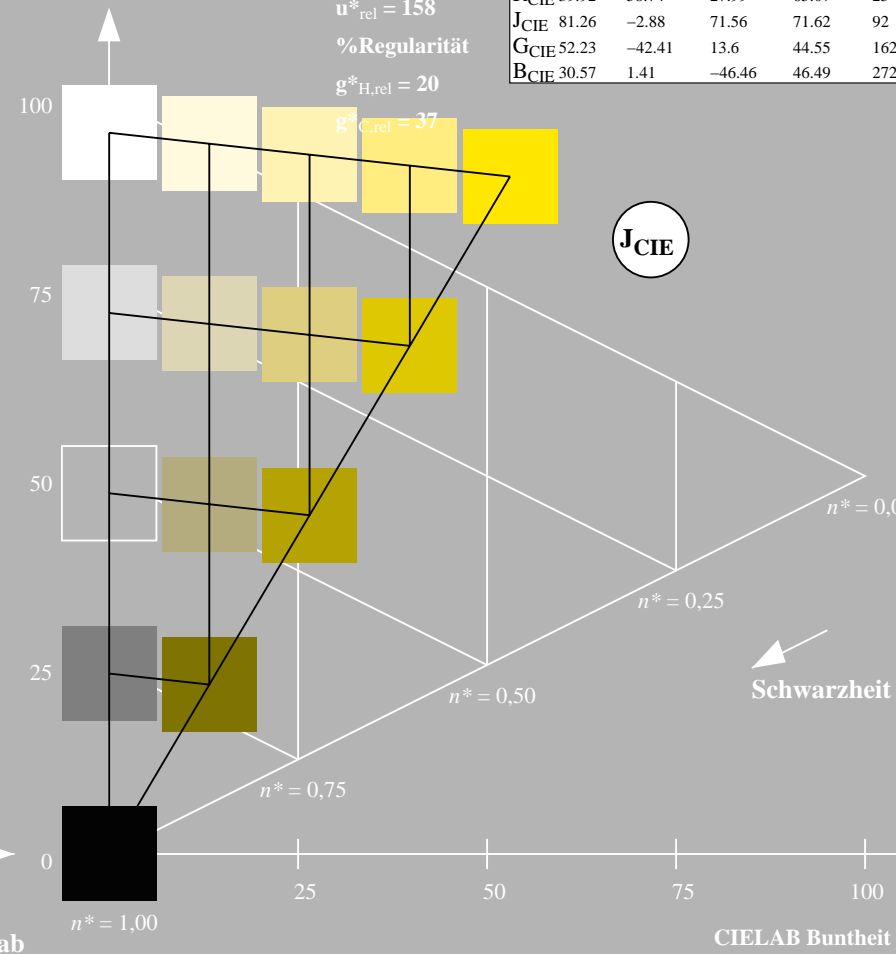
%Umfang

$u^*_{rel} = 158$

%Regularität

$g^*_{H,rel} = 20$

$g^*_{C,rel} = 37$



5 stufige Reihen für konstanten CIELAB Buntton $92/360 = 0.256$ (rechts)

BAM-Prüfvorlage RG30; Farbmétrik-Systeme ORS18 & TLS00 input: olv* setrgbcolor

A: Koordinatensysteme; 5stufige Farbreihen für 10 Bunttöne

output: olv* setrgbcolor / w* setgray

Siehe ähnliche Dateien: <http://www.ps.bam.de/RG30/>
 Technische Information: <http://www.ps.bam.de> Version 2.1, io=1,1, CIELAB

BAM-Registrierung: 20060101-RG30/10Q/Q30G07FP.PS/.PDF BAM-Material: Code=rhatha
 Anwendung für Beurteilung und Messung von Drucker- oder Monitorssystemen
 /RG30/ Form: 8/10, Serie: 1/1, Seite: 8
 Scherz hung 8

Eingabe: Farbmimetrisches Offset-Reflektiv-System ORS18

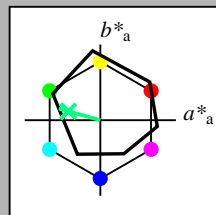
für Buntton $h^* = lab^*h = 164/360 = 0.457$

LAB*LCH, LAB*NCH

A: Buntton G

LCH*Ma: 53 57 164

olv*Ma: 0.0 1.0 0.25



ORS18; adaptierte CIELAB-Daten

| | $L^* = L^*_a$ | a^*_a | b^*_a | $C^*_{ab,a}$ | $h^*_{ab,a}$ |
|------------------|---------------|---------|---------|--------------|--------------|
| O _{Ma} | 47.94 | 65.39 | 50.52 | 82.63 | 38 |
| Y _{Ma} | 90.37 | -10.26 | 91.75 | 92.32 | 96 |
| L _{Ma} | 50.9 | -62.83 | 34.96 | 71.91 | 151 |
| C _{Ma} | 58.62 | -30.34 | -45.01 | 54.3 | 236 |
| V _{Ma} | 25.72 | 31.1 | -44.4 | 54.22 | 305 |
| M _{Ma} | 48.13 | 75.28 | -8.36 | 75.74 | 354 |
| N _{Ma} | 18.01 | 0.0 | 0.0 | 0.0 | 0 |
| W _{Ma} | 95.41 | 0.0 | 0.0 | 0.0 | 0 |
| R _{CIE} | 39.92 | 58.66 | 26.98 | 64.57 | 25 |
| J _{CIE} | 81.26 | -2.16 | 67.76 | 67.79 | 92 |
| G _{CIE} | 52.23 | -42.25 | 11.76 | 43.87 | 164 |
| B _{CIE} | 30.57 | 1.15 | -46.84 | 46.86 | 271 |

CIELAB-Helligkeit L^*

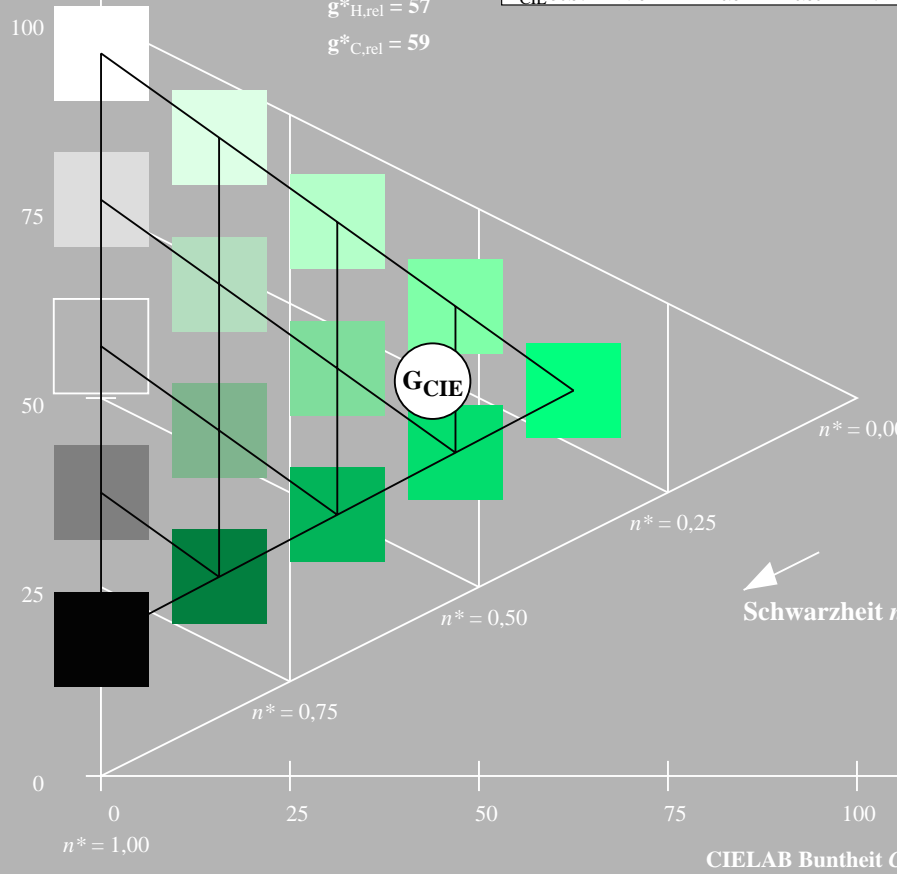
%Umfang

$u^*_{rel} = 93$

%Regularität

$g^*_{H,rel} = 57$

$g^*_{C,rel} = 59$



RG300-7, 5 stufige Reihen für konstanten CIELAB Buntheit $164/360 = 0.457$ (links)

Ausgabe: Farbmimetrisches Fernseh-Licht-System TLS00

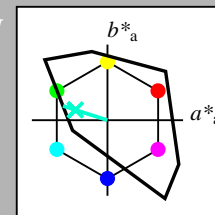
für Buntton $h^* = lab^*h = 162/360 = 0.451$

LAB*LCH, LAB*NCH

A: Buntton G

LCH*Ma: 86 62 162

olv*Ma: 0.0 1.0 0.65



TLS00; adaptierte CIELAB-Daten

| | $L^* = L^*_a$ | a^*_a | b^*_a | $C^*_{ab,a}$ | $h^*_{ab,a}$ |
|------------------|---------------|---------|---------|--------------|--------------|
| O _{Ma} | 50.5 | 76.92 | 64.55 | 100.42 | 40 |
| Y _{Ma} | 92.66 | -20.69 | 90.75 | 93.08 | 103 |
| L _{Ma} | 83.63 | -82.75 | 79.9 | 115.04 | 136 |
| C _{Ma} | 86.88 | -46.16 | -13.55 | 48.12 | 196 |
| V _{Ma} | 30.39 | 76.06 | -103.59 | 128.52 | 306 |
| M _{Ma} | 57.3 | 94.35 | -58.41 | 110.97 | 328 |
| N _{Ma} | 0.01 | 0.0 | 0.0 | 0.0 | 0 |
| W _{Ma} | 95.41 | 0.0 | 0.0 | 0.0 | 0 |
| R _{CIE} | 39.92 | 58.74 | 27.99 | 65.07 | 25 |
| J _{CIE} | 81.26 | -2.88 | 71.56 | 71.62 | 92 |
| G _{CIE} | 52.23 | -42.41 | 13.6 | 44.55 | 162 |
| B _{CIE} | 30.57 | 1.41 | -46.46 | 46.49 | 272 |

CIELAB-Helligkeit L^*

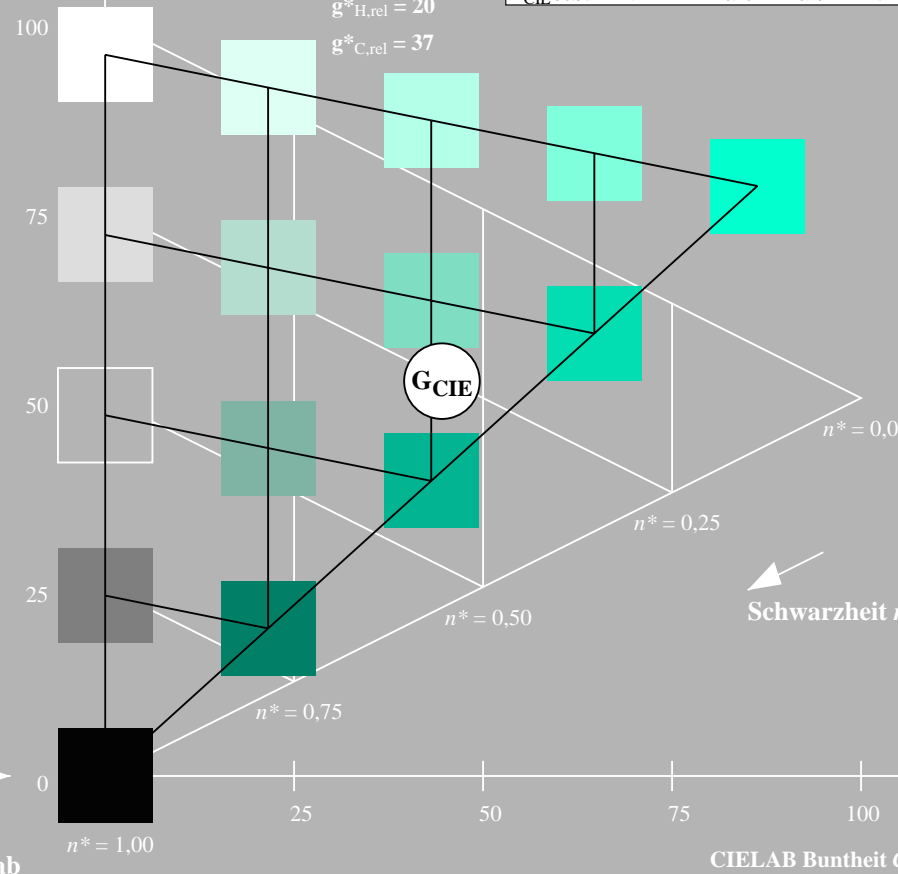
%Umfang

$u^*_{rel} = 158$

%Regularität

$g^*_{H,rel} = 20$

$g^*_{C,rel} = 37$



5 stufige Reihen für konstanten CIELAB Buntheit $162/360 = 0.451$ (rechts)

BAM-Prüfvorlage RG30; Farbmimetrik-Systeme ORS18 & TLS00 input: olv* setrgbcolor

A: Koordinatensysteme; 5stufige Farbreihen für 10 Bunttöne

output: olv* setrgbcolor / w* setgray

Eingabe: Farbmetrisches Offset-Reflektiv-System ORS18

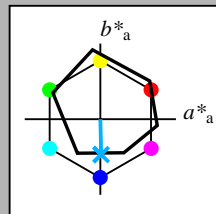
für Buntton $h^* = lab^*h = 271/360 = 0.754$

LAB*LCH, LAB*NCH

A: Buntton B

LCH*Ma: 42 45 271

olv*Ma: 0.0 0.49 1.0



ORS18; adaptierte CIELAB-Daten

| | $L^* = L^*_a$ | a^*_a | b^*_a | $C^*_{ab,a}$ | $h^*_{ab,a}$ |
|------------------|---------------|---------|---------|--------------|--------------|
| O _{Ma} | 47.94 | 65.39 | 50.52 | 82.63 | 38 |
| Y _{Ma} | 90.37 | -10.26 | 91.75 | 92.32 | 96 |
| L _{Ma} | 50.9 | -62.83 | 34.96 | 71.91 | 151 |
| C _{Ma} | 58.62 | -30.34 | -45.01 | 54.3 | 236 |
| V _{Ma} | 25.72 | 31.1 | -44.4 | 54.22 | 305 |
| M _{Ma} | 48.13 | 75.28 | -8.36 | 75.74 | 354 |
| N _{Ma} | 18.01 | 0.0 | 0.0 | 0.0 | 0 |
| W _{Ma} | 95.41 | 0.0 | 0.0 | 0.0 | 0 |
| R _{CIE} | 39.92 | 58.66 | 26.98 | 64.57 | 25 |
| J _{CIE} | 81.26 | -2.16 | 67.76 | 67.79 | 92 |
| G _{CIE} | 52.23 | -42.25 | 11.76 | 43.87 | 164 |
| B _{CIE} | 30.57 | 1.15 | -46.84 | 46.86 | 271 |

CIELAB-Helligkeit L^*

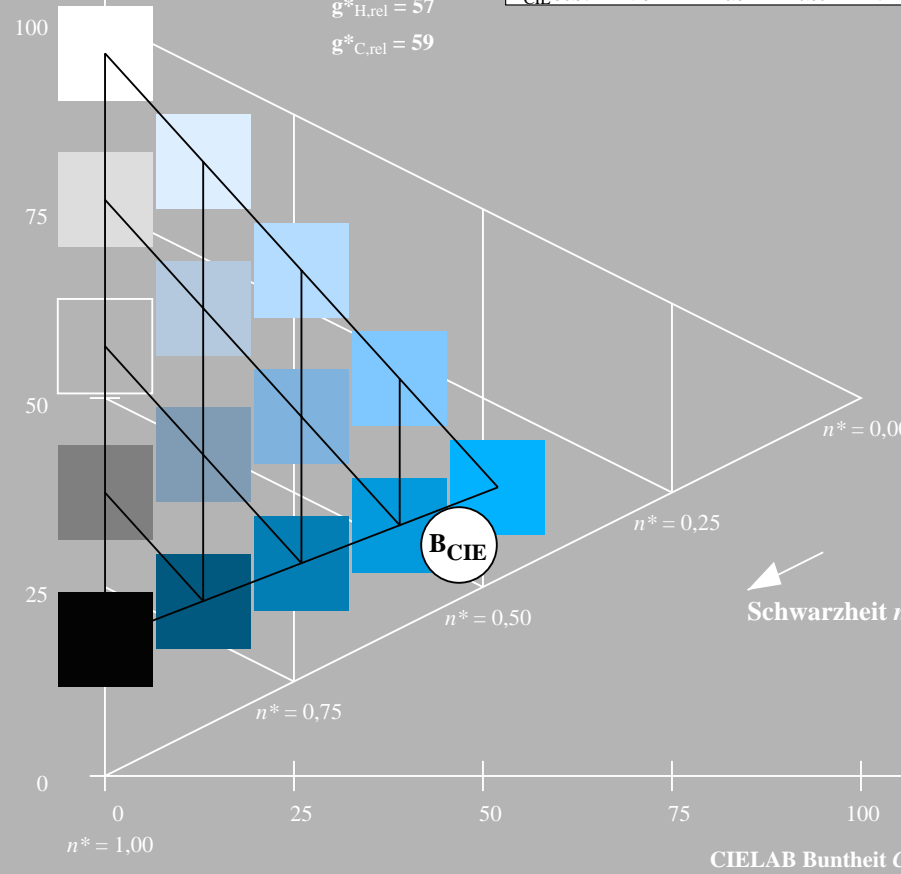
%Umfang

$u^*_{rel} = 93$

%Regularität

$g^*_{H,rel} = 57$

$g^*_{C,rel} = 59$



RG300-7, 5 stufige Reihen für konstanten CIELAB Buntton 271/360 = 0.754 (links)

Ausgabe: Farbmetrisches Fernseh-Licht-System TLS00

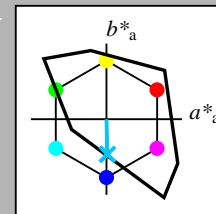
für Buntton $h^* = lab^*h = 272/360 = 0.755$

LAB*LCH, LAB*NCH

A: Buntton B

LCH*Ma: 65 49 272

olv*Ma: 0.0 0.61 1.0



TLS00; adaptierte CIELAB-Daten

| | $L^* = L^*_a$ | a^*_a | b^*_a | $C^*_{ab,a}$ | $h^*_{ab,a}$ |
|------------------|---------------|---------|---------|--------------|--------------|
| O _{Ma} | 50.5 | 76.92 | 64.55 | 100.42 | 40 |
| Y _{Ma} | 92.66 | -20.69 | 90.75 | 93.08 | 103 |
| L _{Ma} | 83.63 | -82.75 | 79.9 | 115.04 | 136 |
| C _{Ma} | 86.88 | -46.16 | -13.55 | 48.12 | 196 |
| V _{Ma} | 30.39 | 76.06 | -103.59 | 128.52 | 306 |
| M _{Ma} | 57.3 | 94.35 | -58.41 | 110.97 | 328 |
| N _{Ma} | 0.01 | 0.0 | 0.0 | 0.0 | 0 |
| W _{Ma} | 95.41 | 0.0 | 0.0 | 0.0 | 0 |
| R _{CIE} | 39.92 | 58.74 | 27.99 | 65.07 | 25 |
| J _{CIE} | 81.26 | -2.88 | 71.56 | 71.62 | 92 |
| G _{CIE} | 52.23 | -42.41 | 13.6 | 44.55 | 162 |
| B _{CIE} | 30.57 | 1.41 | -46.46 | 46.49 | 272 |

CIELAB-Helligkeit L^*

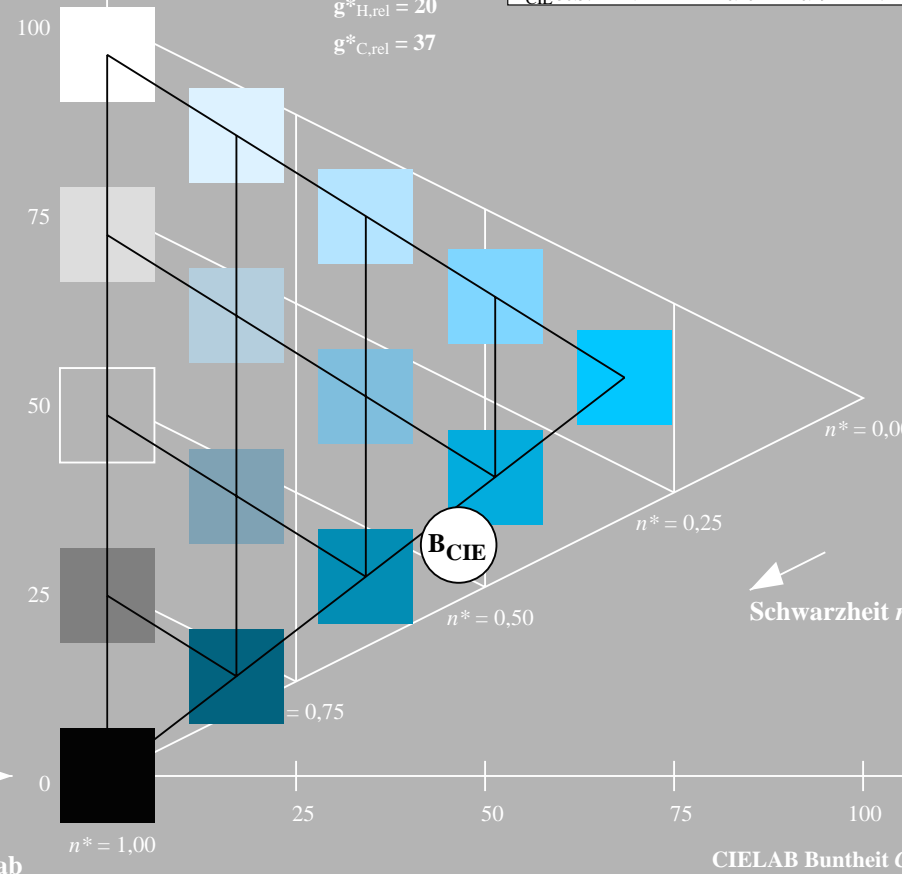
%Umfang

$u^*_{rel} = 158$

%Regularität

$g^*_{H,rel} = 20$

$g^*_{C,rel} = 37$



5 stufige Reihen für konstanten CIELAB Buntton 272/360 = 0.755 (rechts)

BAM-Prüfvorlage RG30; Farbmetrik-Systeme ORS18 & TLS00 input: olv* setrgbcolor

A: Koordinatensysteme; 5stufige Farbreihen für 10 Bunttöne

output: olv* setrgbcolor / w* setgray